


Wykład XV

2024/25 

3 potrozenia Th. 10 i 12. wprowadzamy
statne dla nas

(248)

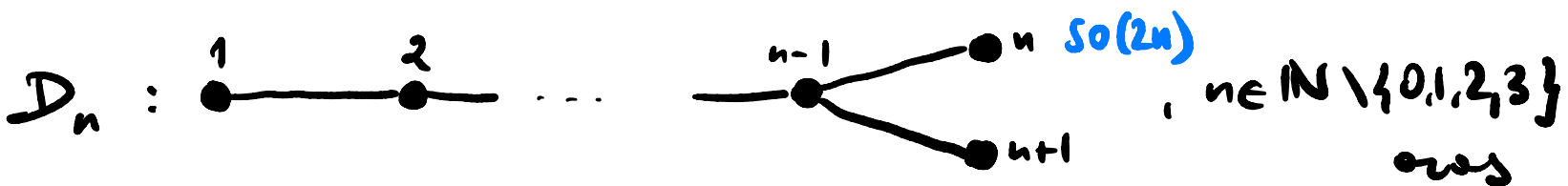
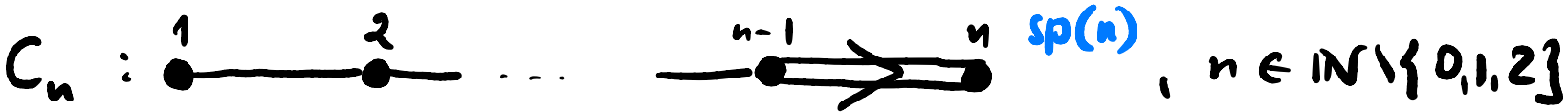
Corollarium Niechaj g będzie potprostą a.l.
o zwartej formie ujemnej k i niech
 k będzie jej podatek bez Costana odpowiadający
wynowi k ujemnej podatek ujemnej
w k . Wówczas g jest prosta wtedy i tylko
wtedy, gdy degree $D_{g,k}$ (to i, $Q(g, k)$)
jest prosty.

W podsumowaniu całej dotychczasowej
 dyskusji możemy powiedzieć sygnalnie

(249)

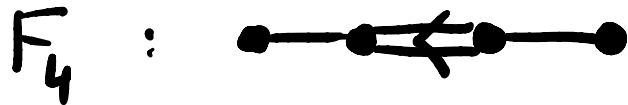
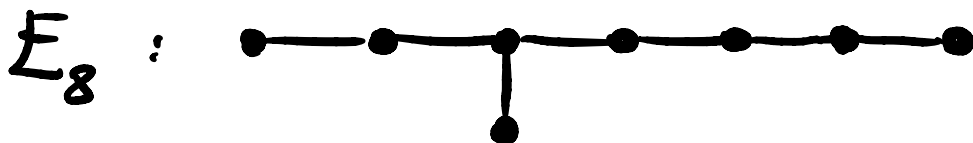
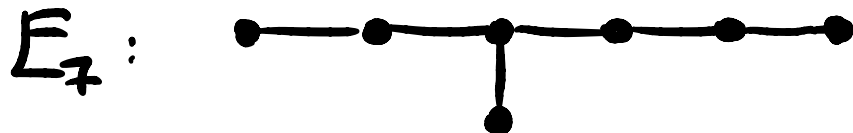
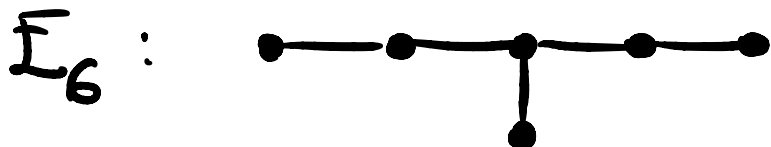
Th. 13. [Klasyfikacje dla systemów pierwiastków]

Jedynie spójne diagramy Dynkina to



ALGEBRY
WYJĄTKOWE

250



NB. : Wszystkie
te diagramy
odpowiadają systemom
ściwościowym
(\mathfrak{sl}) partii algebr
Liego!

D: Okazuje się, że zamiast klasyfikacji
Hessowej Dynkinie, w której występuje
wielkość o rożnej dimensji, co znajduje
odzwierciedlenie w delonacji α_i (podwójnym)
o wartości > 1 , występuje związek między dobrymi

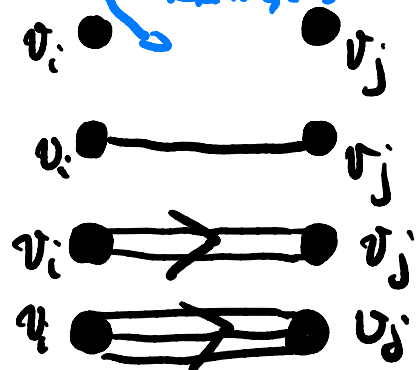
251

Coxetera C , które dostajemy w wyniku
przemianowania: $\alpha_i \mapsto \frac{\alpha_i}{\|\alpha_i\|}$, co skutkuje
zbieżnością delonacji z α_i .

Ażby dobrze zrozumieć stopień zjed nami
 zadenie, zrekapitulujemy dotychczasowe
 ustalenia: Mamy do czynienia ze zbiorem wektorów
liniowo niezależnych $\{a_i\}_{i \in I}$ czyli trygucy niezależni

preju. Możliwe uszy między wektorami
 i gdzie względnie uosneli reye to (Def. 26
 ony str. 175-178)
 KAT
 LICZBY CAŁKOWE
 KRAWĘDZI

- 1° $\&(a_i, a_j) = \frac{1}{2} \quad \begin{matrix} \vdots \\ a_i a_j \end{matrix} \Rightarrow A_{ij} = 0 = A_{ji} \quad \begin{matrix} n_{ij} = A_{ij} A_{ji} \\ \text{LIGBA} \\ \text{LINII} \end{matrix} \quad \begin{matrix} v_i \bullet \\ v_j \bullet \end{matrix}$
- 2° $\&(a_i, a_j) = \frac{2\sqrt{3}}{3} \quad \begin{matrix} \vdots \\ a_i a_j \end{matrix} \Rightarrow A_{ij} = -1 = A_{ji} \quad \begin{matrix} v_i \bullet \\ v_j \bullet \end{matrix}$
- 3° $\&(a_i, a_j) = \frac{3\sqrt{3}}{4} \quad \begin{matrix} \vdots \\ a_i a_j \end{matrix} \Rightarrow A_{ij} = -1, A_{ji} = -2 \quad \begin{matrix} v_i \bullet \\ v_j \bullet \end{matrix}$
- 4° $\&(a_i, a_j) = \frac{5\sqrt{3}}{6} \quad \begin{matrix} \vdots \\ a_i a_j \end{matrix} \Rightarrow A_{ij} = -1, A_{ji} = -3 \quad \begin{matrix} v_i \bullet \\ v_j \bullet \end{matrix}$



Woliamy teraz zamiany:

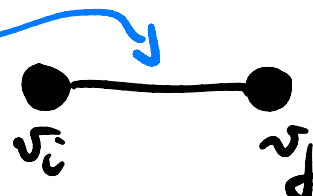
(253)

$$d_i \mapsto \frac{d_i}{\|d_i\|} \equiv \hat{d}_i, \quad i \in \overline{1, n}$$

liczymy w powyższym przypadku: $\hat{A}_{ij} \equiv 2 \langle \hat{d}_i | \hat{d}_j \rangle$
(highly to same!)

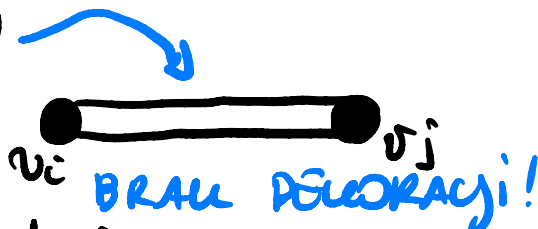
$$1^\circ \langle \hat{d}_i | \hat{d}_j \rangle = 0 \quad \hat{A}_{ij} = 0 = \hat{A}_{ji} \Rightarrow \hat{A}_{ij} \cdot \hat{A}_{ji} = 0$$

$$2^\circ \langle \hat{d}_i | \hat{d}_j \rangle = \frac{\langle d_i | d_j \rangle}{\|d_i\| \cdot \|d_j\|} \stackrel{\|d_i\| = \|d_j\|}{=} \frac{\frac{1}{2} \cdot 2 \langle d_i | d_j \rangle}{\langle d_i | d_i \rangle} \equiv \frac{1}{2} A_{ij} = -\frac{1}{2}$$

$$\hat{A}_{ij} = -1 = \hat{A}_{ji} \Rightarrow \hat{A}_{ij} \cdot \hat{A}_{ji} = 1$$


$$3^\circ \langle \hat{\alpha}_i | \hat{\alpha}_j \rangle = \frac{\langle \alpha_i | \alpha_j \rangle}{\|\alpha_i\| \cdot \|\alpha_j\|} \stackrel{\uparrow}{=} \frac{\sqrt{2} \cdot 2 \langle \alpha_i | \alpha_j \rangle}{2 \langle \alpha_i | \alpha_i \rangle} = -\frac{\sqrt{2}}{2} \quad (254)$$

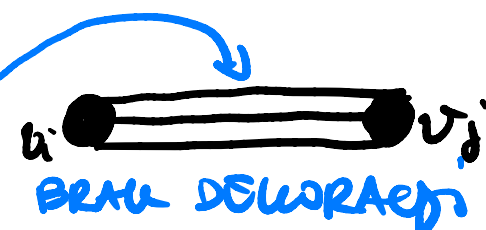
$$\|\alpha_i\| = \sqrt{2} \|\alpha_j\|$$

$$\hat{A}_{ij} = -\sqrt{2} = \hat{A}_{ji} \Rightarrow \hat{A}_{ij} \cdot \hat{A}_{ji} = 2$$


A diagram showing two nodes, v_i and v_j , connected by a horizontal double-headed arrow. A blue arrow points from the equation $\hat{A}_{ij} \cdot \hat{A}_{ji} = 2$ to this diagram. Below the diagram, the text "BRAU DEBORACI!" is written in blue.

$$4^\circ \langle \hat{\alpha}_i | \hat{\alpha}_j \rangle = \frac{\langle \alpha_i | \alpha_j \rangle}{\|\alpha_i\| \cdot \|\alpha_j\|} \stackrel{\uparrow}{=} \frac{\sqrt{3} \cdot 2 \langle \alpha_i | \alpha_j \rangle}{2 \langle \alpha_i | \alpha_i \rangle} = -\frac{\sqrt{3}}{2}$$

$$\|\alpha_i\| = \sqrt{3} \|\alpha_j\|$$

$$\hat{A}_{ij} = -\sqrt{3} = \hat{A}_{ji} \Rightarrow \hat{A}_{ij} \cdot \hat{A}_{ji} = 3$$


A diagram showing two nodes, v_i and v_j , connected by a horizontal double-headed arrow. A blue arrow points from the equation $\hat{A}_{ij} \cdot \hat{A}_{ji} = 3$ to this diagram. Below the diagram, the text "BRAU DEBORACI!" is written in blue.

W dalszych rozważaniach będziemy używać określenia DIAGRAM DOPUSZCZALNY w odniesieniu do tych diagramów Costera, które spełniają warunki między innymi geometryczne wynikające z liniowej niezależności i dopuszczalności węzłów między wektorami $\{\vec{a}_i\}$ i $\{\vec{b}_i\}$. Diagramy, które nie są dopuszczalne, nazywamy NIEDOPUSZCZALNYMI i odpowiadają. Nasze strategie sprowadza się do zaleźności wszystkich diagramów dopuszczalnych i sprawdzenia, że

(255)

każdą z nich po przywołaniu dławicy (256)
odporade perneum systemu pierwiastkowym.

W istocie ^(na chwilę) pojawiają się, że każda z nich odporade
systemu pierwiastkowym jest (10) prostą
algorytmy Liego.

Może rozumowanie zorganizowane
w formie odgry lewator, które zawiera
spektrum dopuszczalnych odgrywa Coxetera.

Lemma 0. Každý poddílagram diagramu
domuzovalnero jst domuzovalny.

(257)

DL 0 : Dyzmite. \blacksquare

Lemma 1: Jeśli \mathcal{C} jest dopuszczalnym,

to \mathcal{C} jest drzewem (tj. nie zawiera cykli).

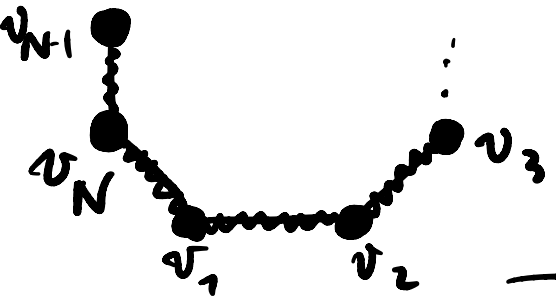
Dł 1: ^{A.a.} Niedostępnym nierozłączni $\{v_i\}_{i \in \overline{1, N}}$ tworzą cykle,

(1) $\forall i \in \overline{1, N-1} : 2 \langle \hat{a}_i | \hat{a}_{i+1} \rangle \leq -1$

(2) $2 \langle \hat{a}_N | \hat{a}_1 \rangle \leq -1$

(3) dla sąsiednich par (i, j) :

$\langle \hat{a}_i | \hat{a}_j \rangle = 0$



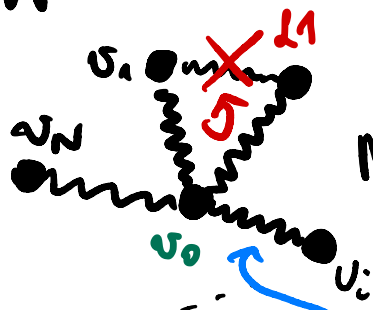
oraz $\sum_{i \in \overline{1, N}} \hat{a}_i = 0$ co wynika z
 1 linia,
 czyli $\hat{A}_{ij} \in \{-1, -\sqrt{2}, -\sqrt{3}\}$

liczymy: $\| \sum_{i=1}^N \hat{a}_i \|^2 = \sum_{i=1}^N \| \hat{a}_i \|^2 + 2 \left[\sum_{i=1}^{N-1} \langle \hat{a}_i | \hat{a}_{i+1} \rangle + \langle \hat{a}_N | \hat{a}_1 \rangle + \sum_{(i,j) \in \overline{1, N}} \langle \hat{a}_i | \hat{a}_j \rangle \right]$
 $\leq N + (-1) + (-1) = N - 1 < 0$, czyli $\sum_{i=1}^N \hat{a}_i = 0$ (wzrost 22.3 są LN3). \square

Lemma 2.: Jeśli \mathcal{L} jest dopuszczalny, to \mathcal{L} nie zawiera
 więcej niż 3 wartości o wartości > 3 . (259)

Dłz: Rozważmy dowolny niezdeformowany v_0 położony
 z innymi wartościami $v_i, i \in \{1, \dots, N\}$ (i tylko tymi), przy czym
 założamy, że każda linia między v_0 a v_i to L_i .

W świetle Lemata 1. wartości v_i i $v_j, i, j \in \{1, \dots, N\}$



nie są połączone, czyli $\forall i, j \in \{1, \dots, N\}: \langle \hat{a}_i | \hat{a}_j \rangle = 0$.
 Na tej podstawie możemy skorzystać z $\langle \hat{a}_0 | \hat{a}_i \rangle \in \mathbb{R}$

$$1 = \|\hat{a}_0\|^2 > \sum_{i=1}^N \langle \hat{a}_0 | \hat{a}_i \rangle^2 = \frac{1}{4} \sum_{i=1}^N L_i \Rightarrow \sum_{i=1}^N L_i < 4$$

□

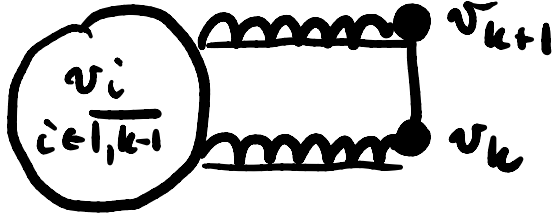
Linia L_i :

$$L_i = \hat{A}_{0i} \hat{A}_{i0} = 4 \langle \hat{a}_0 | \hat{a}_i \rangle^2$$

Lemma 3. Niech \mathcal{C} będzie dopuszczalny i niech $v_k, v_{k+1} \in \mathcal{C}$ będą sąsiednie pojedyncze linie $e_{k,k+1}$. 260
 Wówczas diagram $\mathcal{C}_{k \times k+1}$ otrzymany z \mathcal{C} poprzez usunięcie $e_{k,k+1}$ i utożsamienie $v_k \equiv v_{k+1}$ jest dopuszczalny.

DL 3: Rozwijamy diagram \mathcal{C} :

(zawsze możemy tak ponumerować węzły)



Definiujemy:

$$\underline{\hat{d}}_k := \hat{d}_k + \hat{d}_{k+1}$$

$$\underline{\hat{d}}_i := \hat{d}_i, i \in \overline{1, k}$$

mm niedwusłony typ,

jeśli $k > 1$, to choć jedno z nich nie może!

Důležitý: $\|\underline{\hat{a}}_k\|^2 = \|\hat{a}_k\|^2 + \|\hat{a}_{k+1}\|^2 + 2\langle \hat{a}_k | \hat{a}_{k+1} \rangle \equiv \hat{A}_{k,k+1} = -1$
 $= 1 + 1 - 1 = 1 \checkmark$, (261)

e každo

$\forall i \in \overline{1, k-1}$: $\langle \underline{\hat{a}}_i | \underline{\hat{a}}_k \rangle \equiv \langle \hat{a}_i | \hat{a}_k \rangle + \langle \hat{a}_i | \hat{a}_{k+1} \rangle$



\rightarrow jeden
 } iterymů
 $= 0$

$\left\{ 0, -\frac{1}{2}, -\frac{k}{2}, -\frac{\sqrt{3}}{2} \right\}$

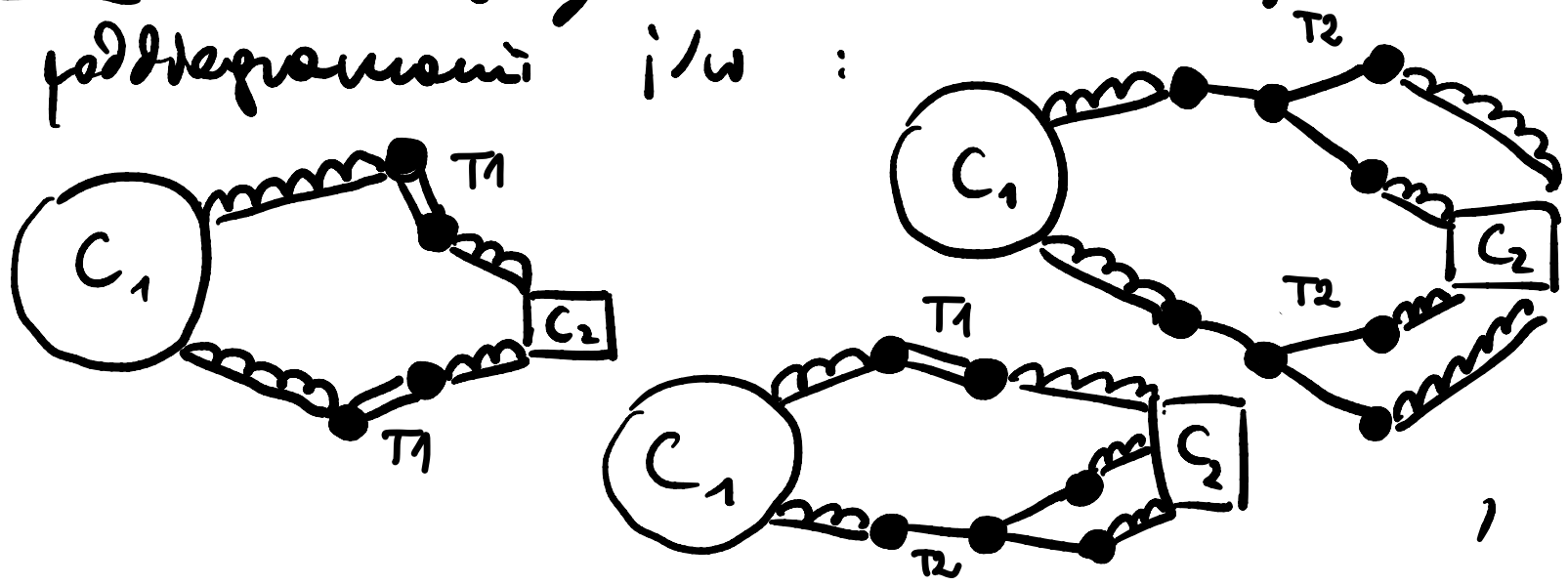
$\forall i, j \in \overline{1, k-1}$: $\langle \underline{\hat{a}}_i | \underline{\hat{a}}_j \rangle \equiv \langle \hat{a}_i | \hat{a}_j \rangle \checkmark$

Uvědomění: $\{\underline{\hat{a}}_j\}_{j \in \overline{1, k}}$ tvoří každý unormované systém
 ortonormované. \square

Lemma 4. Jeśli \mathcal{C} jest dopuszczalny, to \mathcal{C} nie zawiera dwóch lub więcej podciągów postaci (262)

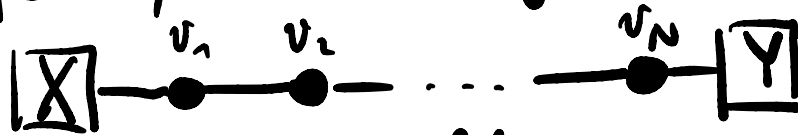


DL4. ^{A.e.} Rozważmy \mathcal{C} z co najmniej dwoma podciągami i/w :





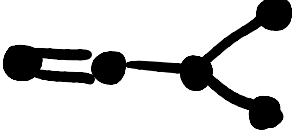
przy czym założymy, że na ścieżce w kierunku
 z parą podziurkowaniem nie ma 263
 innych podziurkowań tego typu (tj. wybieramy
 dwa podziurkowania najbliższe), a wtedy

Tędy jest pewien ciąg krawędzi górnich
 $X, Y \in \{T_1, T_2\}$

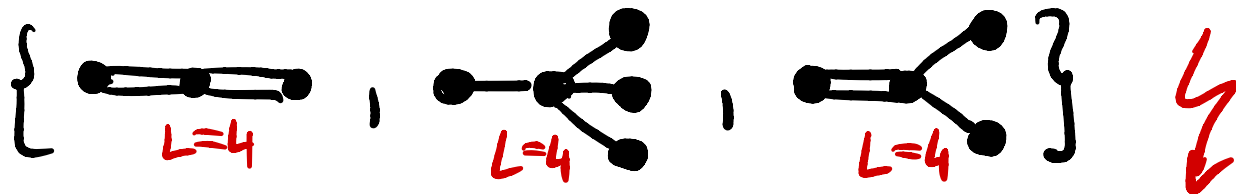



(krawędź pozioma - wpływowa przy lewej 2,
 krawędź pionowa - wpływowa przy założeniu,
 krawędź górnio-dolna - j/w).

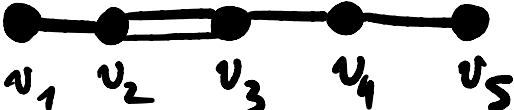
Dla dowolnego dzielenia niezerowego
 $\{U; \zeta_i \in \mathbb{N}$ otrzymujemy diagram dopływowy, 264

ale w nim: $\boxed{X|Y} \in \{$  ,  ,  $\}$,

co po dalszym dzieleniu daje



Ćwiczenie 5. Dwiegram  jest
niedopuszczalnym, w szczególności jeden 265
 dwiegram dopuszczalnym nie zawiera go jako
 poddlażanu.

DŁS.: Określmy , a wtedy
 $\langle \hat{a}_2 | \hat{a}_3 \rangle = -\frac{\sqrt{2}}{2}$, $\langle \hat{a}_1 | \hat{a}_2 \rangle = \langle \hat{a}_3 | \hat{a}_4 \rangle = \langle \hat{a}_4 | \hat{a}_5 \rangle = -\frac{1}{2}$
 natomiast pozostałe iloczyny skalarne = 0.
 Zdefiniujmy $\alpha := \hat{a}_1 + 2\hat{a}_2$ i $\beta := 3\hat{a}_3 + 2\hat{a}_4 + \hat{a}_5$.

Zadanie

$$\langle \alpha | \beta \rangle = \langle 2\hat{a}_2 | 3\hat{a}_3 \rangle = 6 \langle \hat{a}_2 | \hat{a}_3 \rangle = -3\sqrt{2}, \quad (266)$$

a wtedy

$$\|\alpha\|^2 = \|\hat{a}_1\|^2 + \|2\hat{a}_2\|^2 + 2\langle \hat{a}_1 | 2\hat{a}_2 \rangle = 1 + 4 - 2 = 3$$

$$\begin{aligned} \|\beta\|^2 &= \|3\hat{a}_3\|^2 + \|2\hat{a}_4\|^2 + \|\hat{a}_5\|^2 + 2(\langle 3\hat{a}_3 | 2\hat{a}_4 \rangle + \langle 2\hat{a}_4 | \hat{a}_5 \rangle) \\ &= 9 + 4 + 1 + 2(-3 - 1) = 6. \end{aligned}$$

Dlategoż zatem $|\langle \alpha | \beta \rangle| \equiv \|\alpha\| \cdot \|\beta\|$,

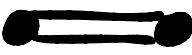
co - jak wiemy z lemmu algebry liniowej - oznacza,
że $\beta \in \langle \alpha \rangle_{\mathbb{R}}$. \Downarrow (wszystkie wektory $\{\hat{a}_i\}_{i=1,5}$ są LNZ) \square


Wniosek 1.: Jeśli \mathcal{C} jest dopuszczalny i zawiera
krawędź wielokrotną, to jest typu B_n, C_n, F_4 lub G_2 . (267)

Uzasadnienie: W świetle Lemata 3 podanym
diagramem z krawędzią potrójną jest

$$\text{---} \equiv G_2.$$

W przypadku linii podwójnej Lemat 4
zabrania wystąpienia dwóch lub więcej
krawędzi tego typu, a Lemat 5
dopuszcza jedynie kontynuację diagramu.

po jednej ze stron krawędzi , czyli

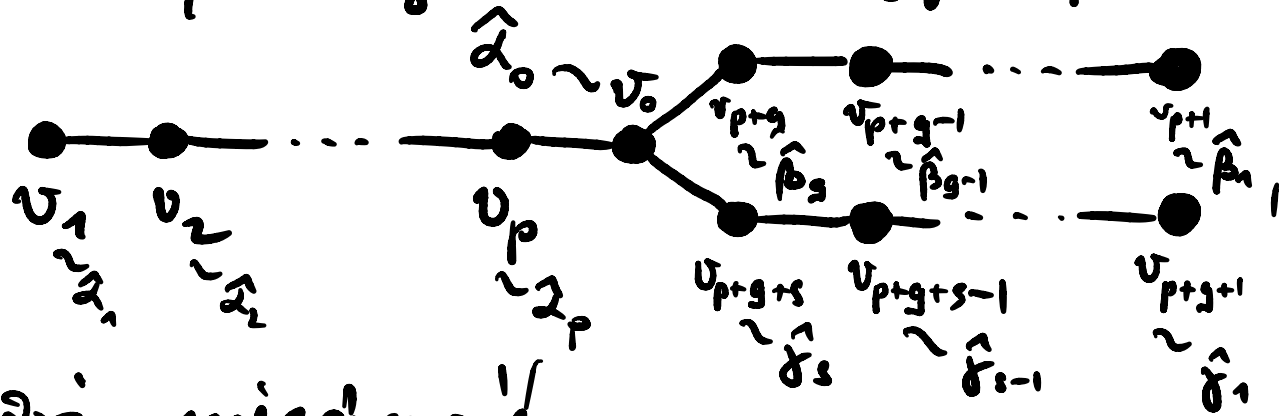
 B_n/C_n (nieosobliwość)

(bez odcięć)

lub  $\equiv F_4$. □ (268)

Na obecnym etapie pozostałe skomplikowane doposażenia drzewa o krawędziach pojedynczych.

Lemat 6. Jeśli \mathcal{C} jest doprzyszalnym diagramem o krawędziach gęstościowych (269) zamierzonym poddiagramem T_2 , czyli jest postaci



to zachodzi nierówność

$$\frac{p}{1+p} + \frac{g}{1+g} + \frac{s}{1+s} < 2.$$

DL6: {definiierung

$$X := \sum_{k=1}^p k \triangleright \hat{\alpha}_k, \quad Y := \sum_{k=1}^q k \triangleright \hat{\beta}_k, \quad Z := \sum_{n=1}^s m \triangleright \hat{\gamma}_n. \quad (270)$$

obliczenie

$$\begin{aligned} \langle X | X \rangle &= \sum_{k=1}^p \langle k \triangleright \hat{\alpha}_k | k \triangleright \hat{\alpha}_k \rangle + 2 \sum_{k=1}^{p-1} \langle k \triangleright \hat{\alpha}_k | (k+1) \triangleright \hat{\alpha}_{k+1} \rangle \\ &= \sum_{k=1}^p k^2 + 2 \sum_{k=1}^{p-1} k(k+1) \cdot \left(-\frac{1}{2}\right) = \sum_{k=1}^p k^2 - \sum_{k=1}^{p-1} (k^2 + k) \\ &= p^2 - \frac{(p-1) \cdot p}{2} = \frac{p^2 + p}{2} = \frac{p(p+1)}{2} \end{aligned}$$

analogicznie $\langle Y|Y \rangle = \frac{g(g+1)}{2}$, $\langle Z|Z \rangle = \frac{s(s+1)}{2}$.

Na tej podstawie wyznaczamy

$$\begin{aligned} \langle \hat{\alpha}_0 | \frac{1}{\|X\|} X \rangle^2 &= \left(\sqrt{\frac{2}{p(p+1)}} \cdot \sum_{k=1}^p \langle \hat{\alpha}_0 | k \alpha_k \rangle \right)^2 \\ &= \frac{2}{p(p+1)} \cdot p^2 \cdot \left(-\frac{1}{2}\right)^2 = \frac{p}{2(p+1)} \end{aligned}$$

(271)

oraz - analogicznie -

$$\langle \hat{\alpha}_0 | \frac{1}{\|Y\|} Y \rangle^2 = \frac{g}{2(g+1)}, \quad \langle \hat{\alpha}_0 | \frac{1}{\|Z\|} Z \rangle^2 = \frac{s}{2(s+1)}$$


Ponieważ $X \perp Y, X \perp Z, Y \perp Z,$

a wiadomo $\hat{\alpha}_0 \in \langle X, Y, Z \rangle_{\mathbb{R}}$, mamy

(272)

$$1 = \|\hat{\alpha}_0\|^2 = \left\langle \hat{\alpha}_0 \left| \frac{1}{\|X\|} X \right. \right\rangle^2 + \left\langle \hat{\alpha}_0 \left| \frac{1}{\|Y\|} Y \right. \right\rangle^2 + \left\langle \hat{\alpha}_0 \left| \frac{1}{\|Z\|} Z \right. \right\rangle^2,$$

co jest właśnie gotulowaniem mierności.

Na tym etapie pozostałe już tylko rozpatrzyć wszystkie ewentualności przewidziane przez tę mierność. 

Wniosek 2.: Jeśli \mathcal{C} jest dopuszczalnym
i zawiera poddrzewem T_2 , to jest typu (273)
 D_n, E_6, E_7 lub E_8 .

Uzasadnienie: Wobec pełnej symetrii pomysłowy

Wybierzmy p, q i s ustalony: $p \geq q \geq s$.

Jeśli $s \geq 2$, to $\frac{s}{s+1} \geq \frac{2}{3}$, zatem także

$$\frac{p}{p+1} \geq \frac{2}{3} \text{ i } \frac{q}{q+1} \geq \frac{2}{3}, \text{ a wtedy } \frac{p}{p+1} + \frac{q}{q+1} + \frac{s}{s+1} \geq \frac{6}{3} = 2$$

$$\frac{d}{dx} \left(\frac{x}{x+1} \right) = \frac{1}{(x+1)^2} > 0 \Rightarrow \frac{p}{p+1} \geq \frac{q}{q+1} \geq \frac{s}{s+1} \left(\geq \frac{2}{3} \right)$$



Wobec powyższego $s = 1$, ^(s=0 nie daje T2!) $e \text{ sty } 2$

$$\frac{p}{p+1} + \frac{q}{q+1} < 2 - \frac{1}{2} = \frac{3}{2}. \quad \left(\frac{x}{x+1}\right)' = \frac{1}{(x+1)^2} > 0 \quad (274)$$

Jeśli $q \geq 3$, to $\frac{q}{q+1} \geq \frac{3}{4}$, a wtedy

$$\frac{p}{p+1} < \frac{3}{2} - \frac{3}{4} = \frac{3}{4} \Leftrightarrow p < 3, \text{ ale } p \geq q \geq 3 \quad \text{⚡}$$

Pozostają zatem przypadki: $(q=0 \text{ nie daje B!})$

$$q=1 \Rightarrow p \geq 1 \quad (D_n)$$

$$q=2 \Rightarrow 2 \leq p < 5 \quad (E_6, E_7, E_8). \quad \square$$

Dotychczasowe rozważanie wykluczało wszelkie
stwierdzenia inne niż te, o których mowa (275)
w teście Thierstera. Konstruktynego dowodu
na to, że każdy z nich jest stwierdzeniem
jednego systemu giemiotliwcego, istnieje
studium (P) postęps algebr tego (lub'ya
zofmarališuy rj na dwigewiad). \square



?? ? la Fin!
Ceci n'est pas ~~une pipe.~~